

УДК 539.374

© 2002 г. Д.Д. ИВЛЕВ, А.Ю. ИШЛИНСКИЙ, Р.И. НЕПЕРШИН

О ВНЕДРЕНИИ ЖЕСТКОЙ ПИРАМИДЫ В ИДЕАЛЬНО ПЛАСТИЧЕСКОЕ ПОЛУПРОСТРАНСТВО

Приведено автомодельное решение задачи о внедрении жесткой треугольной и квадратной пирамиды в идеально пластическое полупространство при условии полной пластичности с учетом контактного трения на гранях пирамиды. Задача моделирует испытание материалов на твердость внедрением жесткой пирамиды. Давление на пирамиду и форма пластического отпечатка удовлетворительно согласуются с экспериментальными данными.

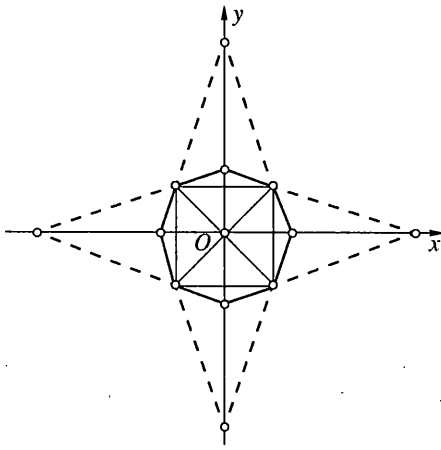
Условию полной пластичности идеально пластического тела соответствуют ребра призмы Треска–Сен–Бенана в пространстве главных напряжений. Только при условии полной пластичности возможна пространственная деформация сдвигом по двум плоскостям скольжения, в которых касательное напряжение достигает предела текучести при сдвиге. Пространственная задача теории идеальной пластичности при условии полной пластичности является статически определимой и гиперболической и перспективна для решения практических задач [1–5].

Характеристические соотношения для напряжений и скоростей перемещений пространственной задачи при условии полной пластичности приведены в [6], где показано, что известные соотношения для плоской и осесимметричной деформации являются частными случаями соотношений общей пространственной задачи. Эти соотношения применены в [6] для решения задач о давлении плоских штампов различной формы в плане на идеально пластическое полупространство.

В настоящей работе характеристические соотношения [6] применены для решения пространственной автомодельной задачи о внедрении жесткой пирамиды в идеально пластическое полупространство с учетом контактного трения на ее гранях. Эта задача моделирует испытания металлов на твердость вдавливанием жесткой пирамиды. Форма пластического отпечатка и давление на пирамиду удовлетворительно согласуются с экспериментами [7].

1. Постановка задачи и основные уравнения. Рассмотрим внедрение правильной жесткой треугольной или квадратной пирамиды в идеально пластическое полупространство по нормали к его границе в декартовых координатах $\{x, y, z\}$. Ось z направим по нормали к границе полупространства и по оси пирамиды. Ось x направим по нормали к середине стороны правильного треугольника или квадрата, которые образуют основание пирамиды на плоскости $z = 0$ (фиг. 1).

Область пластического течения в рассматриваемой задаче имеет плоскости симметрии, ортогональные к границе полупространства и проходящие через ребра и середины граней. Рассмотрим пластическую область, ограниченную двумя плоскостями симметрии, гранью пирамиды и границей полупространства. Координаты, напряжения и скорости перемещений будем считать безразмерными величинами, принимая полудлину стороны правильного треугольника или квадрата за характерную длину, напряжение текучести материала при одноосном сжатии за характерное напряжение и скорость движения пирамиды по оси z за характерную скорость.



Фиг. 1

Условие полной пластичности в пространстве главных напряжений для рассматриваемой задачи имеет вид

$$\sigma_1 = \sigma_2, \quad \sigma_3 = \sigma_1 - 1, \quad \sigma = \sigma_1 - 1/3 \quad (1.1)$$

где σ – среднее напряжение.

Принимаем, что при внедрении пирамиды вектор скорости пластического течения находится в плоскостях $y = \text{const}$, ортогональных к границе полупространства и к граням пирамиды. Для плоскости $y = 0$ это условие является точным вследствие симметрии пластического течения. При $0 < y < 1$ это условие обеспечивает геометрическое подобие пластической области во всех сечениях $y = \text{const}$. При $y = 1$ пластическая область перед гранью пирамиды стягивается в точку, совпадающую с точкой пересечения ребра пирамиды с недеформированной границей полупространства $z = 0$, что подтверждается экспериментами [7].

Направляющие косинусы напряжения σ_3 с осями координат x, y, z имеют вид $n_1 = \cos \theta, n_2 = 0, n_3 = \sin \theta$, где θ – угол между направлением напряжения σ_3 и осью x , а ненулевые компоненты тензора напряжений при условии (1.1) определяются выражениями

$$\sigma_x = \sigma + 1/3 - \cos^2 \theta, \quad \sigma_y = \sigma + 1/3, \quad \sigma_z = \sigma + 1/3 - \sin^2 \theta \quad (1.2)$$

$$\tau_{xz} = -\sin \theta \cos \theta \quad (1.3)$$

Главное напряжение σ_2 направлено по оси y . Ортогональные характеристики в плоскостях $y = \text{const}$ совпадают с линиями скольжения ξ и η , которые определяются дифференциальными уравнениями

$$dz/dx = \operatorname{tg} \phi \quad \text{для } \xi, \quad dz/dx = -\operatorname{ctg} \phi \quad \text{для } \eta \quad (1.4)$$

с дифференциальными соотношениями для напряжений и скоростей перемещений, совпадающими с уравнениями Генки и Гейрингера [6]:

$$d\sigma - d\phi = 0 \quad \text{вдоль } \xi, \quad d\sigma + d\phi = 0 \quad \text{вдоль } \eta \quad (1.5)$$

$$dV_\xi - V_\eta d\phi = 0 \quad \text{вдоль } \xi, \quad dV_\eta + V_\xi d\phi = 0 \quad \text{вдоль } \eta \quad (1.6)$$

где ϕ – угол между касательной к линии скольжения ξ и осью x и V_ξ и V_η – проекции вектора скорости на линии скольжения. Углы ϕ и θ связаны соотношением $\theta = \phi - \pi/4$.

2. Автомодельное решение. Рассмотрим пластическую область и граничные условия задачи в плоскости $y = \text{const}$ (фиг. 2). Глубина внедрения пирамиды h определяется

формулами

$$h = (1 - y)/(\sqrt{3} \operatorname{tg} \alpha) \text{ или } h = (1 - y)/\operatorname{tg} \alpha, 0 \leq y \leq 1 \quad (2.1)$$

для треугольной или квадратной пирамиды соответственно, где α – угол наклона грани пирамиды к оси z . Нормальные и касательные напряжения на границе контакта AE постоянны. В области ADE линии скольжения прямолинейны и напряженное состояние однородно. В области ACD прямолинейные линии скольжения η образуют центрированный веер с особой точкой A . В области ABC напряженное состояние также однородно и граница AB свободна от внешних напряжений.

При условии полной пластичности материал пластической области ABC находится в состоянии одноосного сжатия параллельно границе AB

$$\sigma_1 = \sigma_2 = 0, \sigma_3 = -1, \sigma = -1/3 \text{ на } AB \quad (2.2)$$

На границе контакта AE задаем напряжение контактного трения μ , которое определяет угол наклона линии скольжения η к этой границе

$$\gamma = \frac{1}{2} \arccos 2\mu, 0 \leq \mu \leq \frac{1}{2} \text{ на } AE \quad (2.3)$$

Углы β и ψ связаны соотношением

$$\beta + \psi = \pi/4 + \alpha - \gamma \quad (2.4)$$

Углы α и μ являются параметрами задачи, которые по условию симметрии пластического течения относительно оси z должны удовлетворять неравенству, соответствующему предельному значению $\pi/2$ угла при вершине жесткой области в точке E :

$$\alpha \leq \pi/4 + \frac{1}{2} \arccos 2\mu \quad (2.5)$$

Для идеально гладкой пирамиды ($\mu = 0$) $\alpha \leq \pi/2$, для абсолютно шероховатой пирамиды ($\mu = 1/2$) $\alpha \leq \pi/4$.

Если угол α превышает предельное значение (2.5), зависящее от трения, то на гранях пирамиды возникает “нарост” недеформируемого материала, образующего естественный клин с углом наклона $\alpha^* = \pi/4$, по которому происходит скольжение пластической области с максимальным трением. В этом случае давление на пирамиду не зависит от угла α , что подтверждается экспериментами [7] по внедрению шероховатой пирамиды без смазки при $\alpha > \pi/4$.

Из условия несжимаемости следует равенство площадей треугольников ABF и EOF , которое с использованием соотношения

$$h/l = \cos \alpha - \sqrt{2} \cos \gamma \sin \beta \quad (2.6)$$

где l – длина границы контакта AE , приводит к нелинейному уравнению относительно угла β :

$$\sin \beta (\cos \beta + \sqrt{2} \sin \alpha / \cos \gamma) - \frac{1}{4} \sin 2\alpha / \cos^2 \gamma = 0 \quad (2.7)$$

которое имеет решение $\beta = 0$ для $\alpha = 0$ и $\alpha = \pi/2$. При $0 < \alpha < \pi/2$ угол β находим из уравнения (2.7) методом Ньютона. Затем из соотношений (2.4) и (2.6) находим угол ψ и длину границы контакта l .

Поле скоростей в пластической области определяется непрерывностью скоростей по нормали к грани пирамиды и по нормали к жесткопластической границе. Эти условия определяют скорость области AED и разрыв скорости $[V]$ вдоль жесткопластической границы, который возникает в точке E (фиг. 3). В соответствии с уравнениями (1.6) скорости постоянны вдоль прямолинейных линий скольжения η и определяются поворотом разрыва скорости вдоль границы DC , которая отображается на плоскости годографа дугой окружности с радиусом $[V]$. Из построений, показанных

на плоскости годографа, находим $[V]$ и проекции вектора скорости по направлениям x и z :

$$[V] = \sin \alpha / \cos \gamma \quad (2.8)$$

$$V_x = [V] \cos \zeta, \quad V_z = [V] \sin \zeta, \quad \gamma - \alpha \leq \zeta \leq \pi/4 - \beta \quad (2.9)$$

Среднее напряжение в области ADE находим интегрированием соотношения (1.5) вдоль линий скольжения ζ с использованием угла ψ , определяемого из уравнения (2.4), и граничного условия (2.2):

$$\sigma = -(1/3 + \pi/4 + \alpha - \gamma - \beta) \quad (2.10)$$

Нормальное давление на грань пирамиды находим из первого соотношения (1.2) направляя ось x по нормали к грани и используя угол $\theta = \nu - \pi/4$ для напряжения σ_3 и выражение (2.10) для σ :

$$p = \frac{1}{2}(1 + \sin 2\gamma) + \pi/4 + \alpha - \gamma - \beta \quad (2.11)$$

Давление, отнесенное к проекции площади пластического отпечатка на плоскость $z = 0$, равно

$$q = p + \mu \operatorname{ctg} \alpha \quad (2.12)$$

Давление, отнесенное к площади основания пирамиды на плоскости $z = 0$, находим из соотношений (2.1), (2.6) и (2.12):

$$q_n = q \chi \sin \alpha \quad (2.13)$$

$$\chi = 1 / (\sin \alpha - \sqrt{2} \cos \gamma \operatorname{tg} \alpha \sin \beta) \quad (2.14)$$

Вертикальная сила Q , действующая на треугольную и квадратную пирамиду равна $\sqrt{3}q_n$ и $4q_n$ соответственно.

Высоту поднятия пластической области по грани пирамиды над плоскостью $z = 0$ и проекцию границы пластического отпечатка на эту плоскость находим из соотношений (2.1) и (2.6):

$$h^* = \sqrt{2}c(1 - y)\chi \cos \gamma \sin \beta \quad (2.15)$$

$$x = c[y + (1 - y)\chi \sin \alpha] \quad (2.16)$$

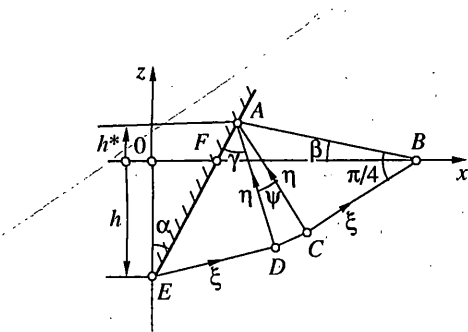
где χ определяется из уравнения (2.14) и $c = 1/\sqrt{3}$ или $c = 1$ для треугольной или квадратной пирамиды соответственно. Граница пластической области на плоскости $z = 0$ определяется уравнением

$$x = c[y + (1 - y)\chi(\sin \alpha + \sqrt{2} \cos \gamma \cos \beta)] \quad (2.17)$$

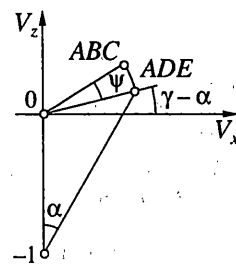
На фиг. 1 штриховыми линиями показаны границы пластической области и проекции пластического отпечатка на плоскости $z = 0$, вычисленные по уравнениям (2.16) и (2.17) для гладкой квадратной пирамиды с углом наклона граней $\alpha = \pi/6$.

3. Сравнение с экспериментами. Эксперименты по внедрению треугольной и квадратной пирамиды в упрочненные металлы показывают линейное возрастание усилия и геометрическое подобие формы пластического отпечатка [7], что согласуется с приведенным автомодельным решением. Давление на пирамиду, отнесенное к проекции площади пластического отпечатка на плоскость $z = 0$ или к площади основания пирамиды, одинаково для треугольной и квадратной пирамиды. Это согласуется с экспериментальными данными, приведенными в табл. 1 в работе [7].

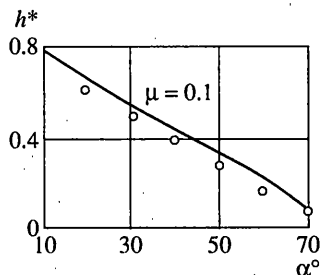
На фиг. 4 показано сравнение расчетных значений высоты h^* поднятия пластического материала в середине грани квадратной пирамиды для $\mu = 0.1$ в зависимости



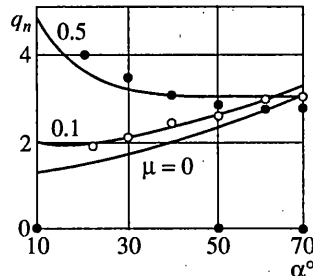
Фиг. 2



Фиг. 3



Фиг. 4



Фиг. 5

от угла α [град.] с экспериментальными данными [7] (светлые точки) по внедрению смазанной пирамиды в холодно катанную медь. Из этого рисунка видно удовлетворительное качественное и количественное соответствие теории и эксперимента. Расчетные значения проекции пластического отпечатка по уравнению (2.16) в середине грани пирамиды для углов $\alpha < \pi/4$ также удовлетворительно согласуются с экспериментами [7]. Но теоретическая граница пластической области в сечении $y = 0$ оказывается значительно больше экспериментальной. Это можно объяснить весьма малыми углами наклона свободной границы пластической области к границе полупространства и, возможно, плавным переходом этой границы в недеформированную границу полупространства, что затрудняет точное определение границы пластической области в эксперименте.

На фиг. 5 приведены расчеты давления q_n по уравнениям (2.13) и (2.14) в зависимости от угла α для $\mu = 0, 0.1$ и 0.5 и сравнение с экспериментальными данными [7] по внедрению квадратной смазанной (светлые точки) и шероховатой несмазанной (темные точки) пирамиды в холодно катанную медь, для которой зависимость напряжение – деформация близка к модели идеально пластического тела. Расхождение теоретических и экспериментальных данных находится в пределах возможной погрешности определения контактного трения и предела текучести при сдвиге деформируемого материала.

При $\alpha = \pi/2$ и $\mu = 0$ из уравнений (2.7), (2.11)–(2.17) находим $\beta = 0$, $q = q_n = 1 + \pi/2$, $h^* = 0$; граница отпечатка совпадает с основанием пирамиды и граница пластической области на плоскости $z = 0$ определяется уравнением $x = c(2-y)$. Это предельный случай давления гладкого треугольного и квадратного плоского штампа на идеально пластическое полупространство [6]. Предельное давление $q \approx 1 + \pi/2$ на смазанную квадратную пирамиду при $\alpha \rightarrow \pi/2$, $h^* \approx 0$ и граница пластической области $x \approx 2$ в сечении $y = 0$ получены в экспериментах [7].

СПИСОК ЛИТЕРАТУРЫ

1. Ишлинский А.Ю. Пространственное деформирование не вполне упругих и вязкопластических тел // Изв. АН СССР. ОТН. 1945. № 3. С. 250–260.
2. Ишлинский А.Ю. Осесимметрическая задача пластичности и проба Бринеля // ПММ. 1944. Т. 8. В. 3. С. 201–224.
3. Ишлинский А.Ю. Прикладные задачи механики. Т. 1. М.: Наука, 1986. 359 с.
4. Ишлинский А.Ю., Ивлев Д.Д. Математическая теория пластичности. М.: Физматлит, 2001. 704 с.
5. Ивлев Д.Д., Ишлинский А.Ю. Полная пластичность в теории идеально пластического тела // ДАН. 1999. Т. 368. № 3. С. 333–334.
6. Ивлев Д.Д., Ишлинский А.Ю., Непершин Р.И. О характеристических соотношениях для напряжений и скоростей перемещений пространственной задачи идеально-пластического тела при условии полной пластичности // ДАН. 2001. Т. 381. № 5. С. 616–622.
7. Dugdale D.S. Experiments with pyramidal indenters. P. 1 // J. Mech. and Phys. Solids. 1955. V. 3. № 3. P. 197–205.

Москва

Поступила в редакцию
5.03.2002